

УДК 681.532.55

# СИНТЕЗ РЕГУЛЯТОРА СКОРОСТИ ВРАЩЕНИЯ КОЛЕНЧАТОГО ВАЛА ДВИГАТЕЛЯ ВНУТРЕННЕГО СГОРАНИЯ НА ОСНОВЕ НЕЧЕТКОГО УПРАВЛЕНИЯ

К.Б. Алексеев, А.А. Малявин



**АЛЕКСЕЕВ  
Кир  
Борисович**

Доктор технических наук, профессор кафедры «Автоматика, информатика и системы управления» МГИУ. Специалист в области автоматического управления и автоматизации. Автор более 100 научных трудов и изобретений.

цесса мышления человека. Преимущества интеллектуальных систем проявляются в тех случаях, когда объект описывается сложной системой нелинейных дифференциальных уравнений, в том числе и с частично неопределенными параметрами.

Двигатель внутреннего сгорания (ДВС) является одним из таких объектов [1]. Синтезировать управление скоростью вращения коленчатого вала ДВС методами классической линейной теории не удается из-за существенной нелинейности характеристик двигателя как

## Введение

В последнее время повышается интерес к разработке интеллектуальных систем управления различными сложными техническими объектами. Характерным отличием таких систем по сравнению с традиционными, построенными на базе принципа пропорционально-интегрально-дифференциального (ПИД) регулятора, является формирование стратегии управления, основанной на моделировании про-



**МАЛЯВИН  
Александр  
Анатольевич**

Аспирант МГИУ, инженер-программист Центра информационных технологий (ЦИТ) АМО ЗИЛ. Специализируется в области систем автоматического управления.

объекта управления и отсутствия адекватной математической модели, в полной мере отражающей его динамические свойства.

В статье [2] приведено описание синтеза закона управления скоростью вращения коленчатого вала двигателя внутреннего сгорания, основанного на использовании нечеткой логики.

Для вычисления управляющего воздействия использовалась информация о текущей ошибке скорости вращения коленчатого вала двигателя и первой и второй производных от нее. В соответствии с методикой построения системы управления на базе нечеткой логики было проведено преобразование этой информации в три лингвистические переменные по каждой измеряемой координате. На основании правил, представленных в статье [2] в виде таблицы, лингвистические переменные были преобразованы в пять термов выходной переменной. Проведенная по методу центра тяжести дефазификация позволила получить управляющее воздействие, качественные показатели которого иллюстрируются приведенными в статье графиками. В частности, при разгоне двигателя от  $86 \text{ с}^{-1}$  до  $250 \text{ с}^{-1}$  время регулирования составило около 4 с при отсутствии перерегулирования. При нагружении коленчатого вала моментом, изменяющимся с постоянной скоростью  $12,5 (\text{Н}\cdot\text{м})/\text{с}$ , в пределах от 0 до  $50 \text{ Н}\cdot\text{м}$  снижение скорости вращения не превысило 5 %. Снижение или увеличение скорости вращения в зависимости от уменьшения или увеличения атмосферного давления также не превысило 5 %. Такие показатели можно считать приемлемыми.

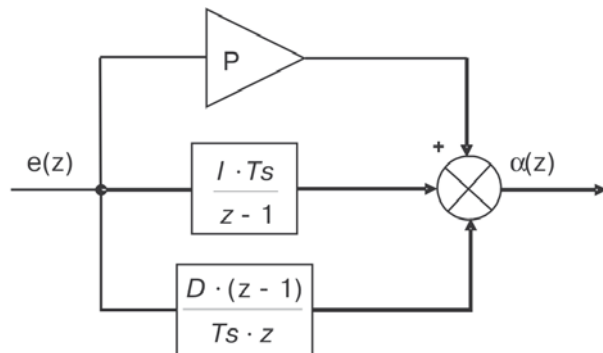
### **Синтез ПИД регулятора**

Особый интерес вызывает зависимость степени открытия дроссельной заслонки от времени, полученная при разгоне двигателя. Вместе с аналогичной зависимостью для ошибки регулирования они представляют собой численную формулировку закона управления.

Имея в распоряжении закон управления, реализуемый нечетким регулятором, можно аппроксимировать с его помощью ПИД регуля-

тора. Несмотря на неизбежные потери точности, такая аппроксимация позволит аппаратно реализовать управление, используя RC-цепи, не прибегая к сложной элементной базе. При этом автоматически решается проблема устойчивости системы управления.

Структурная схема такого регулятора в дискретном исполнении (вместо преобразования Лапласа используется z-преобразование) приведена на рис. 1.



*Рис. 1. Структурная схема дискретного ПИД регулятора:*

$e(z)$  – сигнал ошибки, поступающий на вход регулятора;  $P$  – коэффициент усиления пропорциональной составляющей закона управления;  $I$  – коэффициент усиления интегральной составляющей закона управления;  $Ts$  – период дискретизации;  $D$  – коэффициент усиления дифференциальной составляющей закона управления;

$\alpha(z)$  – степень открытия дроссельной заслонки

Задача синтеза сводится к поиску минимума функционала следующего вида:

$$\min_{P,I,D} \frac{1}{2} \sum_i (u_i^*(e_i) - u_i^{\text{ПИД}}(P, I, D, e_i))^2$$

при  $\begin{cases} P_{\min} < P < P_{\max} \\ I_{\min} < I < I_{\max} \\ D_{\min} < D < D_{\max} \end{cases}$ , (1)

где  $u_i^*$  – желаемый закон управления, полученный при работе нечеткого регулятора;  $e_i$  – ошибка регулирования;  $u_i^{\text{ПИД}}$  – закон управления, реализуемый ПИД регулятором;  $P_{\min}, I_{\min}, D_{\min}$  – нижние ограничения для коэффициентов усиления ПИД регулятора;  $P_{\max}, I_{\max}, D_{\max}$  –

верхние ограничения для коэффициентов усиления ПИД регулятора.

Такая постановка представляет собой классическую задачу квадратичного программирования, решение которой может быть получено с использованием различных модификаций метода градиентного спуска, например, с помощью метода Гаусса-Ньютона.

Рассмотрим пример решения данной задачи. Для этого определим следующие условия:

- 1) пусть  $u_i^*$ ,  $e_i$  – желаемый закон управления и ошибка регулирования, полученные в результате записи при переходном процессе в течение первых 8 секунд с дискретностью 0,01, возникающим в ответ на подачу ступенчатого задающего сигнала, соответствующего желаемой скорости вращения  $250 \text{ c}^{-1}$ ;
- 2) примем  $P_{\min} = I_{\min} = D_{\min} = 0$ ,  $P_{\max} = I_{\max} = D_{\max} = 2$ ,  $P_{\begin{array}{l} \text{begin} \end{array}} = I_{\begin{array}{l} \text{begin} \end{array}} = D_{\begin{array}{l} \text{begin} \end{array}} = 0,01$  ( $P_{\begin{array}{l} \text{begin} \end{array}}, I_{\begin{array}{l} \text{begin} \end{array}}, D_{\begin{array}{l} \text{begin} \end{array}}$  – начальные значения соответствующих коэффициентов усиления ПИД регулятора);
- 3) в качестве алгоритма решения используем алгоритм Гаусса-Ньютона.

Тогда в результате минимизации функцио-

нала (1) при заданных выше условиях за 500 итераций были получены следующие величины для коэффициентов усиления ПИД регулятора:  $P=5,5409 \cdot 10^{-6}$ ,  $I=1,723310 \cdot 10^{-4}$ ,  $D=1,4901 \cdot 10^{-8}$ .

Фрагмент графика (за первые 100 итераций) изменения средней квадратичной ошибки  $mse$ , приведенный на рис. 2, позволяет убедиться в сходимости выбранного алгоритма.

Среднее квадратичное отклонение полученного закона управления от эталонного, соответствующего работе нечеткого регулятора, составило  $6,948 \cdot 10^{-7}$  при размере выборки, равном 801 элементу. Сходство нечеткого закона управления и его аппроксимации иллюстрируется на рис. 3. Следует отметить более плавное изменение управляющего воздействия ПИД регулятора.

Системы управления скоростью вращения коленчатого вала, построенные на базе нечеткого и ПИД регуляторов, были проверены путем численного моделирования при одинаковых внешних условиях, симулирующих работу реального двигателя при изменении момента нагрузки  $M_c$  и момента инерции  $J$ .

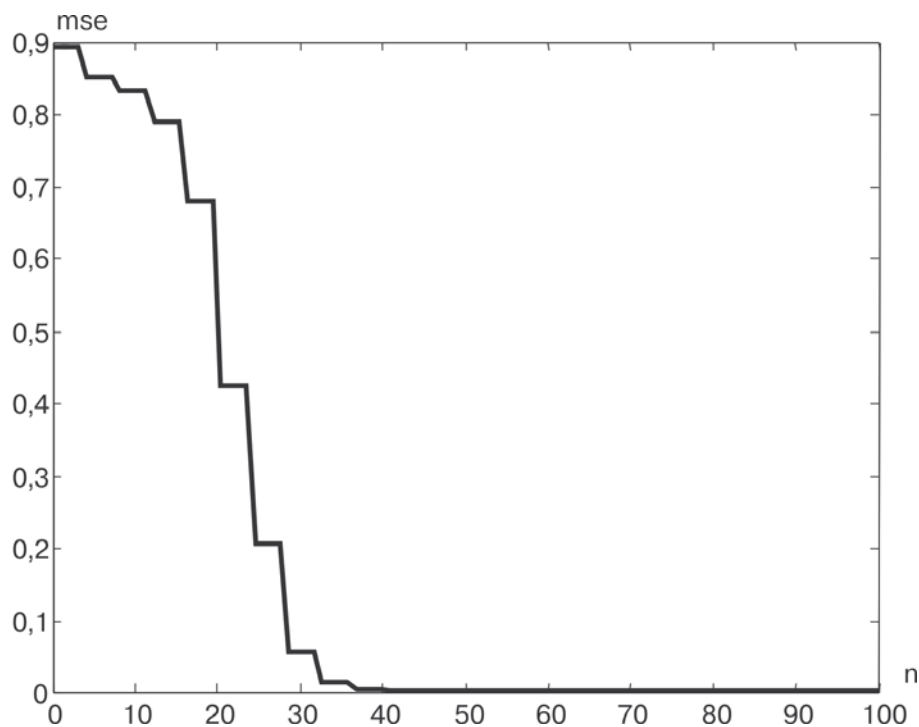


Рис. 2. Изменение средней квадратичной ошибки в зависимости от номера итерации при работе алгоритма Гаусса-Ньютона

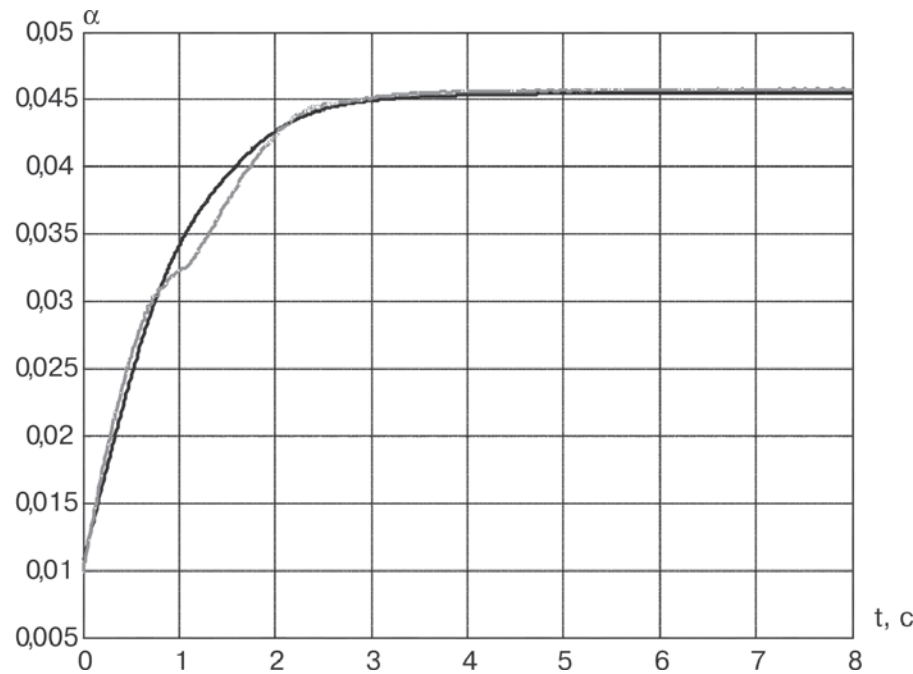


Рис. 3. Управляющее воздействие нечеткого и ПИД регулятора  
на заключительном этапе вычислений:

—  $\alpha^{\text{НР}}$  – степень открытия дроссельной заслонки, задаваемая нечетким регулятором;  
—  $\hat{\alpha}^{\text{ПИД}}$  – степень открытия дроссельной заслонки, полученная в результате  
аппроксимации ПИД регулятором

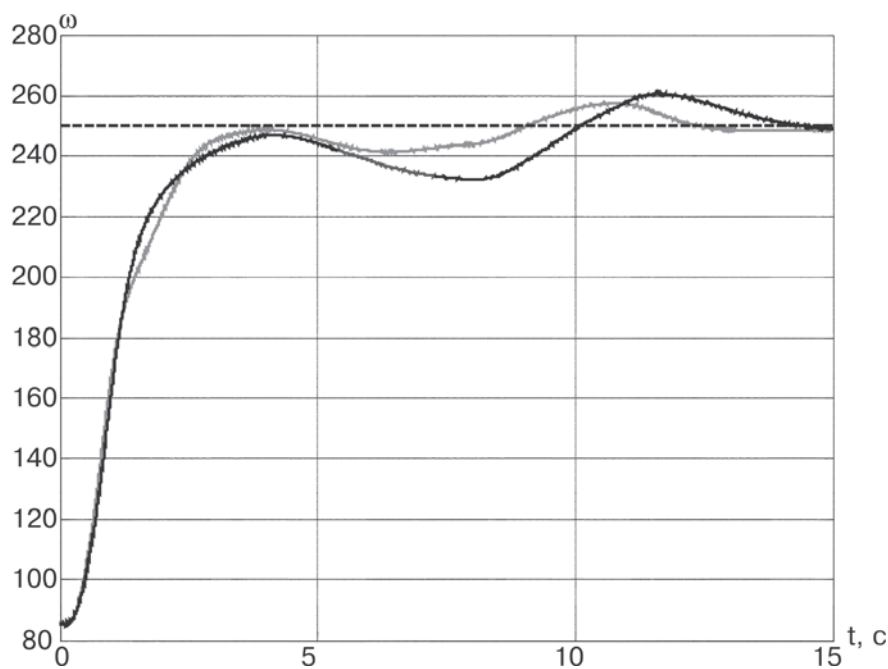


Рис. 4. Переходной процесс работы двигателя под управлением нечеткого регулятора и ПИД регуляторов:

—  $\omega^{\text{НР}}, \text{с}^{-1}$  – заданная скорость вращения коленчатого вала двигателя;  
—  $\omega^*, \text{с}^{-1}$  – скорость вращения под управлением нечеткого регулятора;  
—  $\omega^{\text{ПИД}}, \text{с}^{-1}$  – скорость вращения под управлением ПИД регулятора

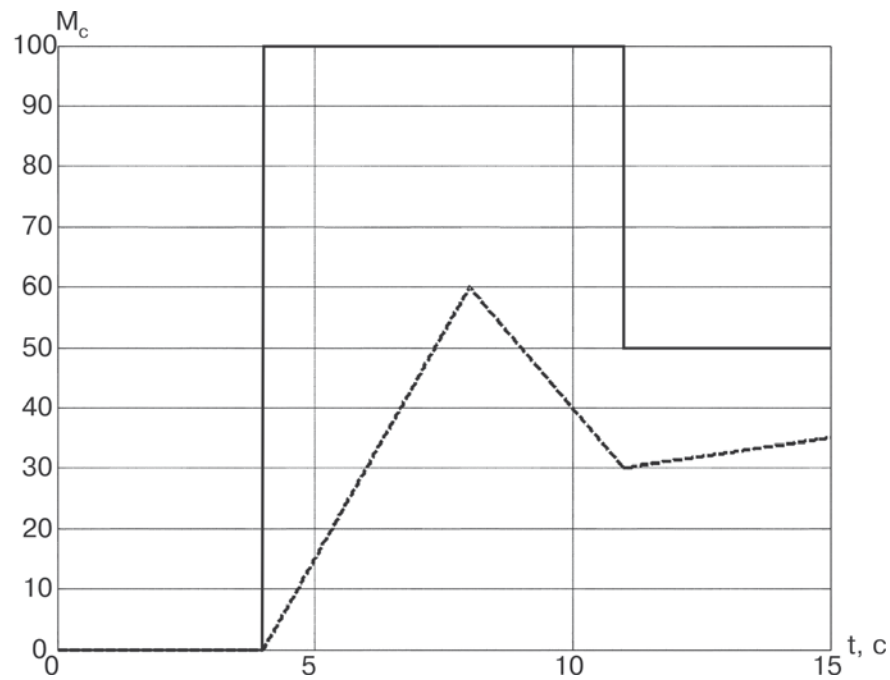


Рис. 5. Изменение момента инерции и момента сопротивления нагрузки, действующей на вал двигателя:  
 -----  $M_c, \text{Н}\cdot\text{м}$  – момент инерции нагрузки; —  $J, \text{кг}\cdot\text{м}^2 \cdot 100$  – момент сопротивления нагрузки

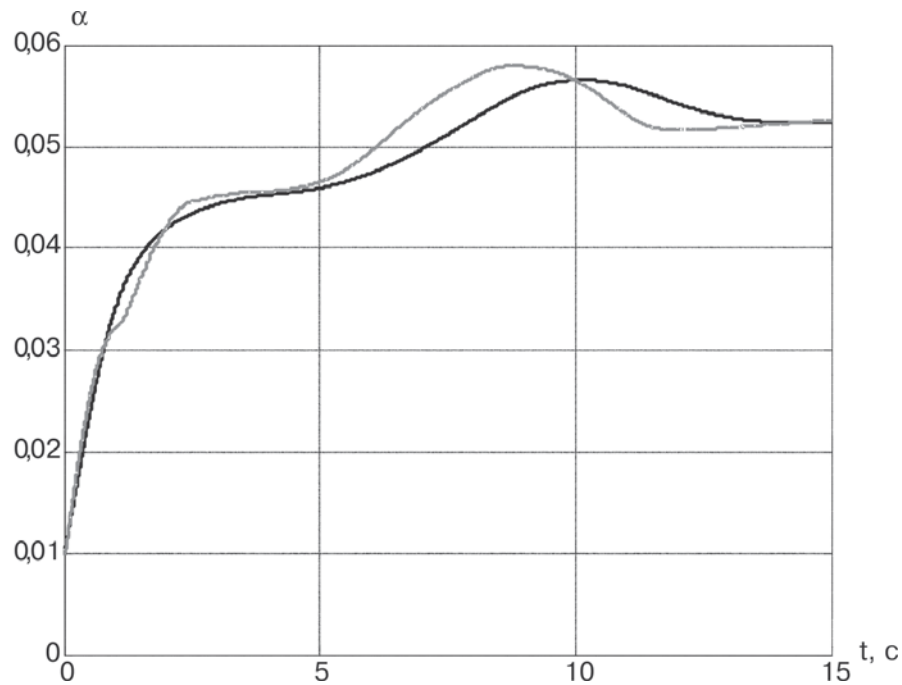


Рис. 6. Изменение управляющего воздействия нечеткого и ПИД регуляторов:  
 —  $\alpha^{\text{ПИД}}$  – степень открытия дроссельной заслонки, задаваемая нечетким регулятором;  
 —  $\alpha^{\text{НР}}$  – степень открытия дроссельной заслонки, задаваемая ПИД регулятором

Результаты проведенного эксперимента, представленные на рис. 4–6, позволяют выявить различия в функционировании обеих систем управления.

На первом этапе численного эксперимента

при  $t \in [0, 4], \text{с}$  двигатель был отключен от внешней нагрузки (рис. 5). Как видно из этого участка графика (рис. 4), в переходном процессе под управлением ПИД регулятора отсутствуют характерные для нечеткого регулятора резкие изме-

нения ускорения при подходе к области желаемой скорости вращения ( $\omega \in [200, 250] \text{,с}^{-1}$ ), что является следствием более плавного изменения управляющего воздействия ПИД регулятора (рис. 6).

Когда скорость вращения вала двигателя вплотную приблизилась к желаемой, к нему была подключена нагрузка с моментом инерции, равным  $1 \text{ кг}\cdot\text{м}^2$ , и моментом сопротивления, изменяющимся по линейному закону с постоянной скоростью  $15(\text{Н}\cdot\text{м})/\text{с}$ . Ступенчатый характер изменения момента инерции обусловлен принятым допущением о том, что время, необходимое для переключения коробки передач, является незначительным.

Как видно из результатов, представленных на рис. 4, нечеткий регулятор успевает раньше реагировать на изменение характера нагрузки и его ошибка не превышает  $8,4 \text{ с}^{-1}$  (3,4 %), в то время как ПИД регулятор за отведенное время ( $t \in [4, 8] \text{,с}$ ) показал ошибку  $17,3 \text{ с}^{-1}$  (6,9 %), не успев до конца отреагировать на возмущение, внесенное нагрузкой. На оставшемся отрезке времени ( $t \in [8, 15] \text{,с}$ ) ПИД регулятор продемонстрировал аналогичное поведение.

Графики, приведенные на рис. 6, показывают, что управляющее воздействие  $\alpha^{\text{PID}}$  регулятора отстает во времени от управляющего воздействия нечеткого регулятора  $\alpha^{\text{HP}}$ , что в значительной степени обусловило то, что ПИД регулятор показал худшие результаты, чем нечеткий регулятор. Однако, данный факт можно считать ожидаемым вследствие возможной

неполноты выборки, описывающей поведение эталонного переходного процесса, и неизбежных ошибок аппроксимации.

## **Заключение**

В результате проведенного ранее исследования [2], была показана возможность синтеза регулятора системы управления скоростью вращения коленчатого вала ДВС на основе нечеткой логики в виде программного обеспечения, имеющего приемлемые качественные показатели управления.

Результаты работы данного регулятора (запись изменения во времени сигналов ошибки и управляющего воздействия) были использованы для настройки параметров ПИД регулятора.

Сравнение обоих регуляторов, выполненное при равных условиях в ходе численного моделирования свидетельствует, что нечеткий регулятор обеспечивает отработку возмущений по моменту нагрузки и моменту инерции с меньшей ошибкой, чем ПИД регулятор.

## **Список литературы**

1. Агуреев И.Е. Анализ и синтез характеристик многоцилиндровых поршневых двигателей внутреннего сгорания: Дисс. ... д-ра техн. наук. Тула, 2003.
2. Алексеев К.Б., Малявин А.А. Управление скоростью вращения коленчатого вала двигателя внутреннего сгорания на базе нечеткой логики // Машиностроение и инженерное образование. 2007. №1. С. 14–24.